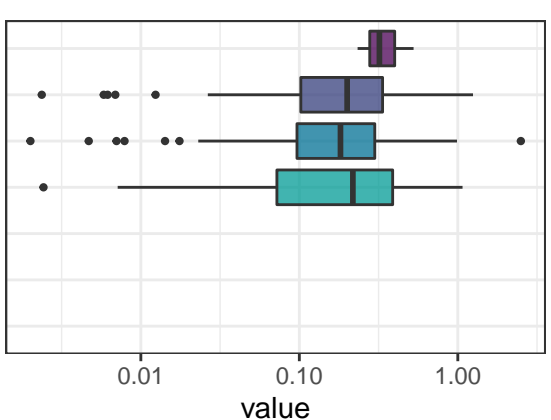
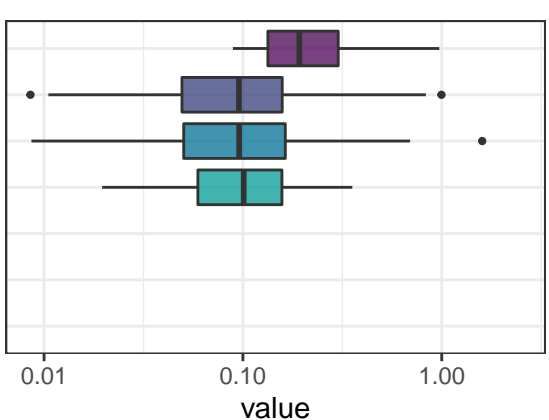
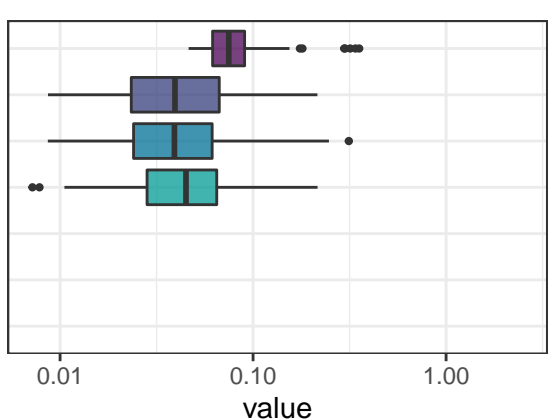
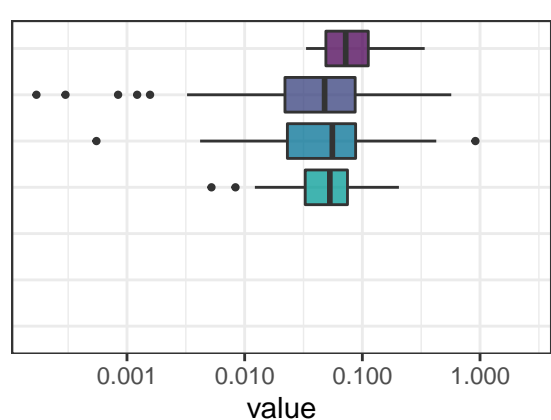
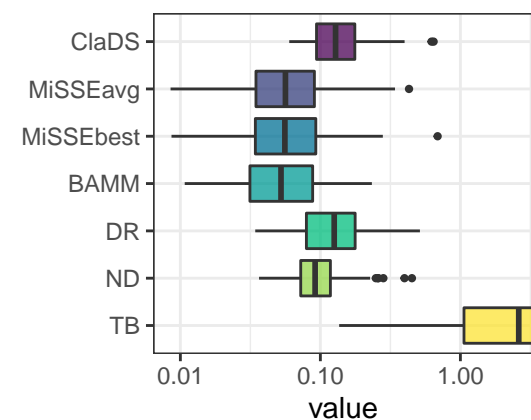
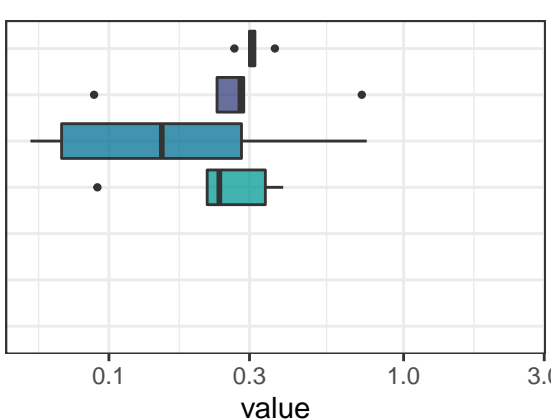
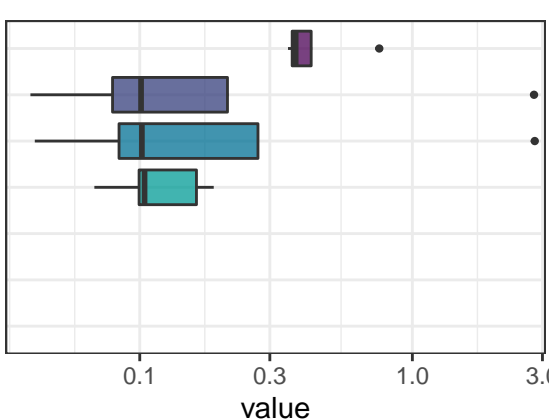
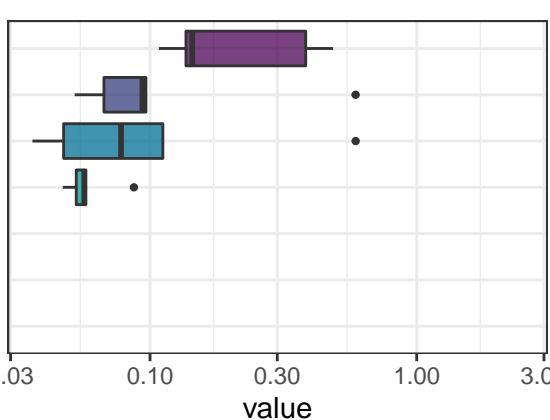
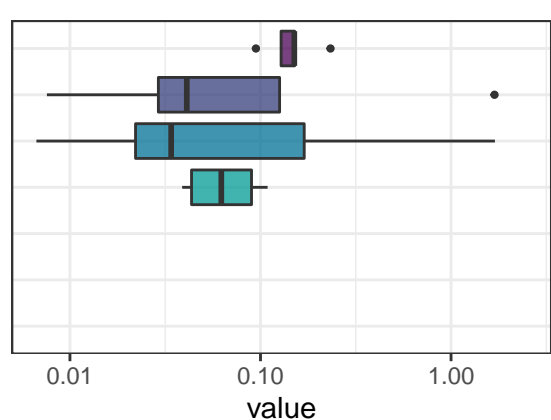
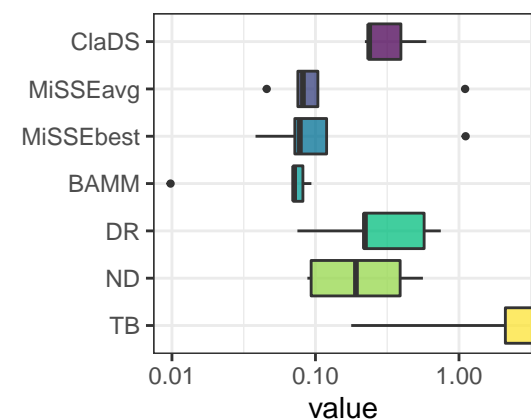


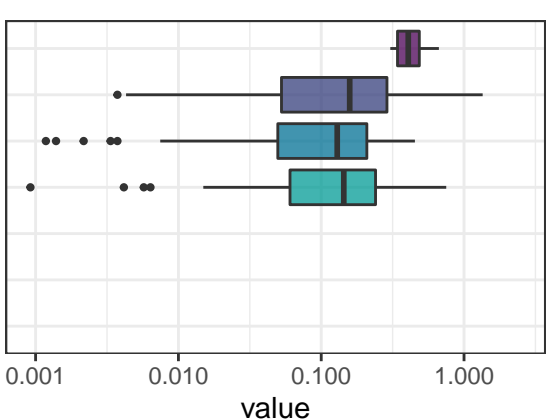
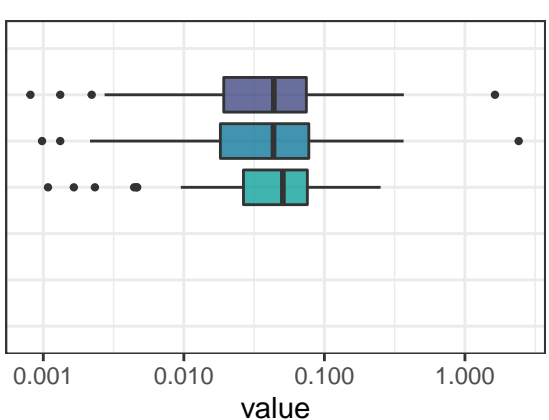
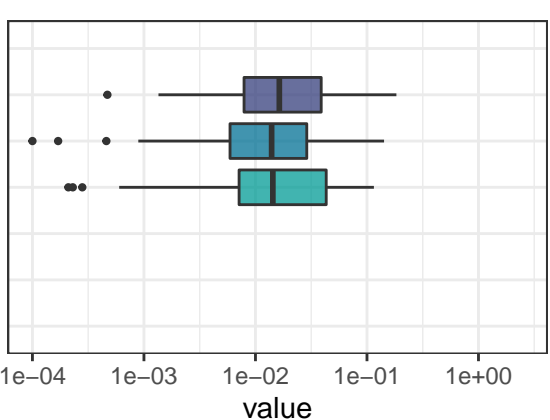
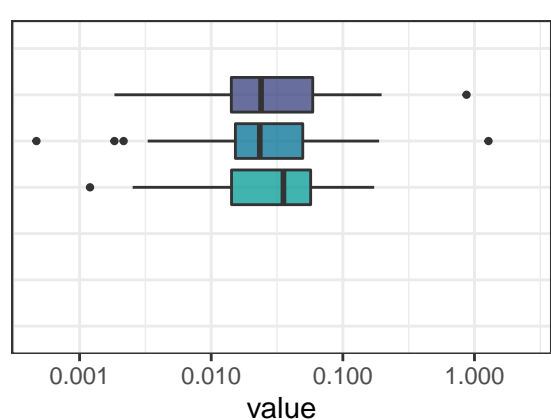
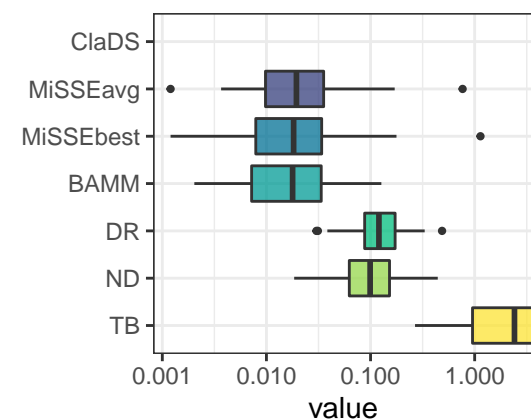
evolvingRates (N=115)



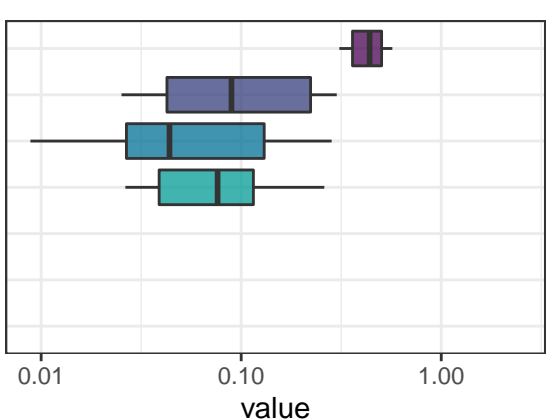
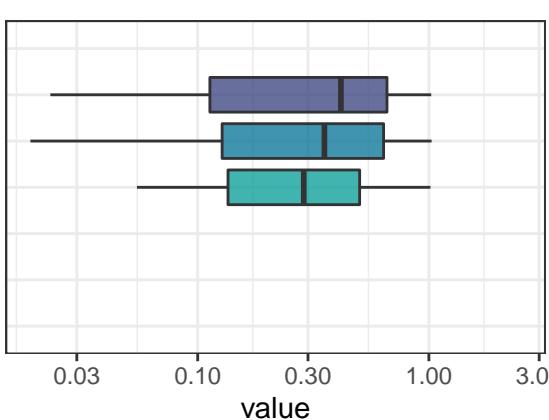
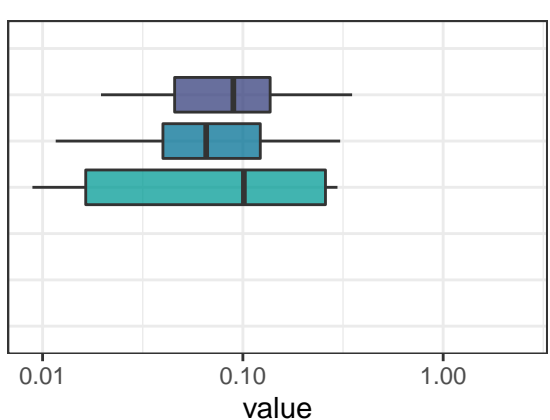
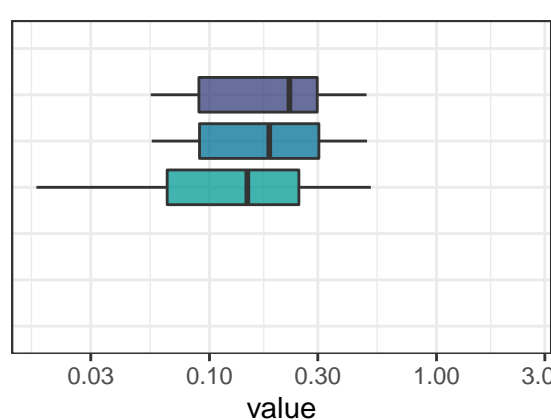
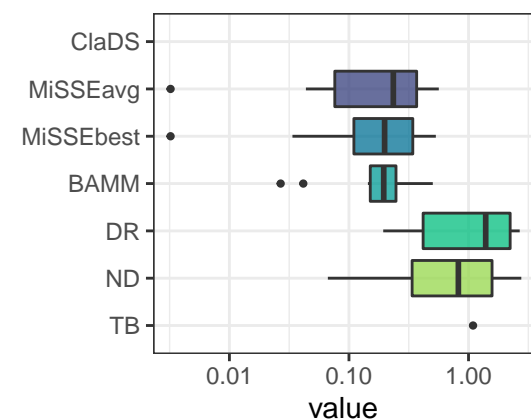
fossilBAMM (N=5)



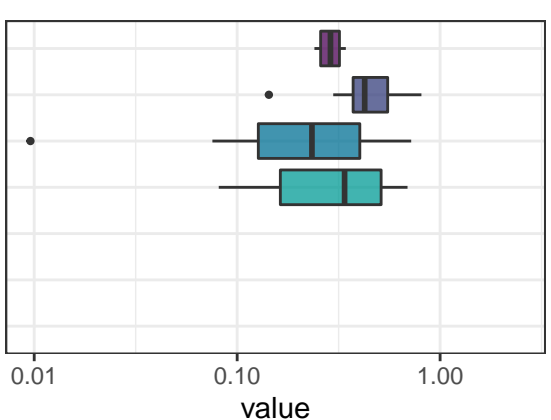
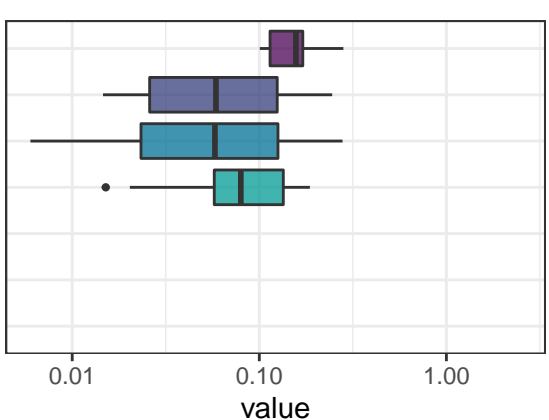
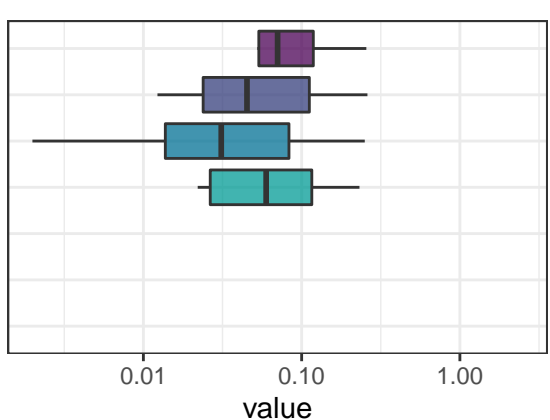
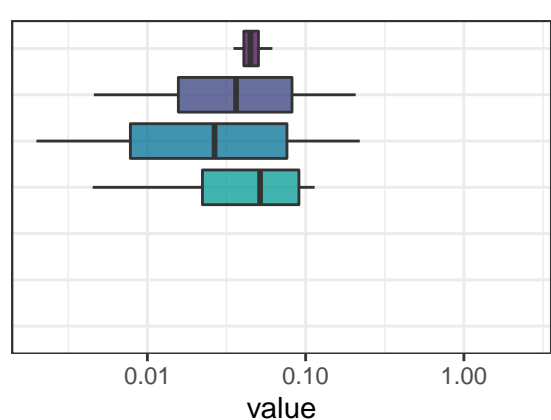
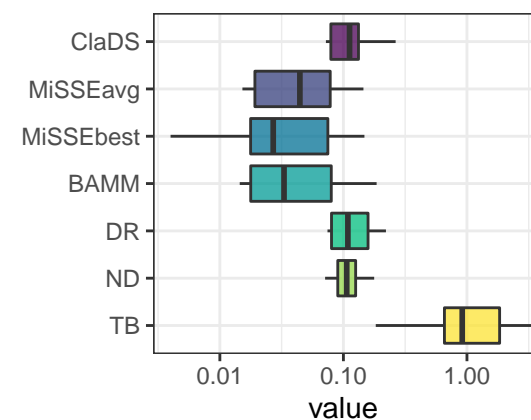
lambdaConstantVariance (N=86)



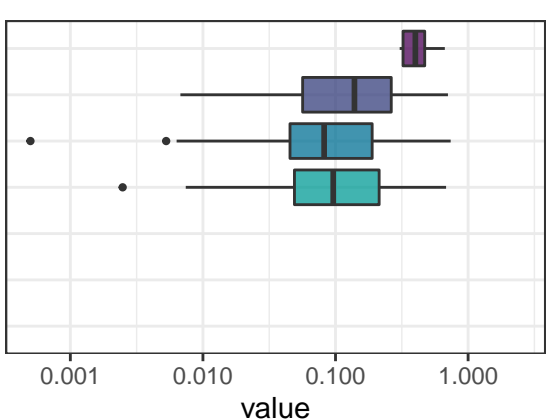
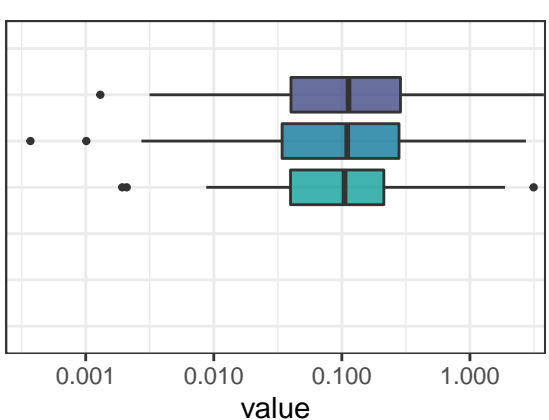
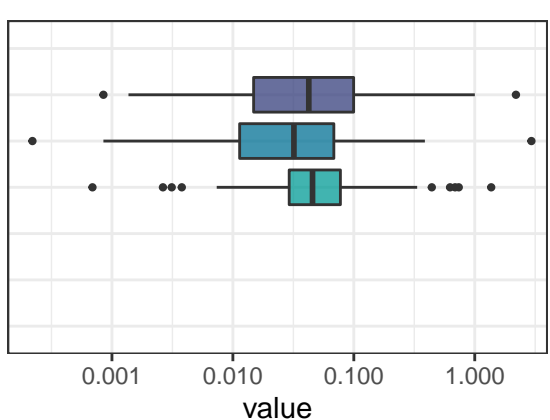
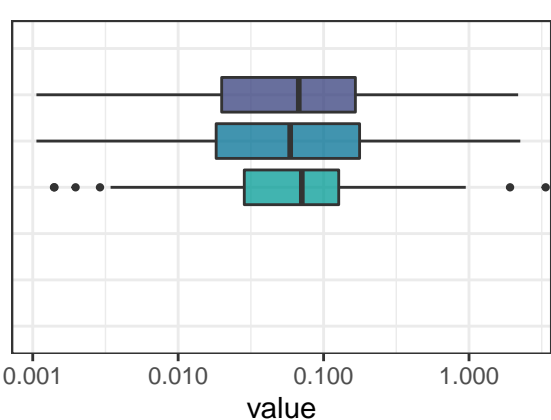
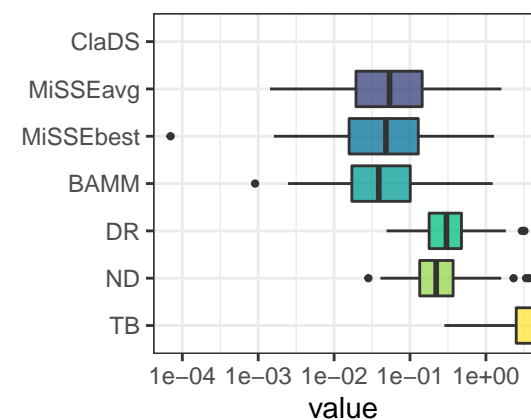
MitchellRabosky2016 (N=10)



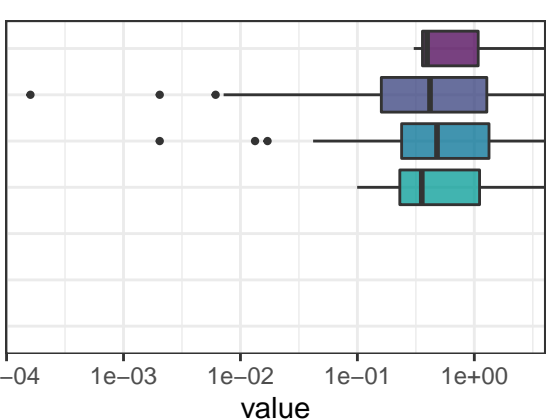
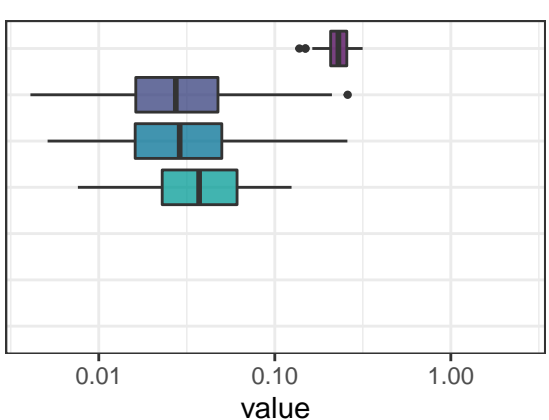
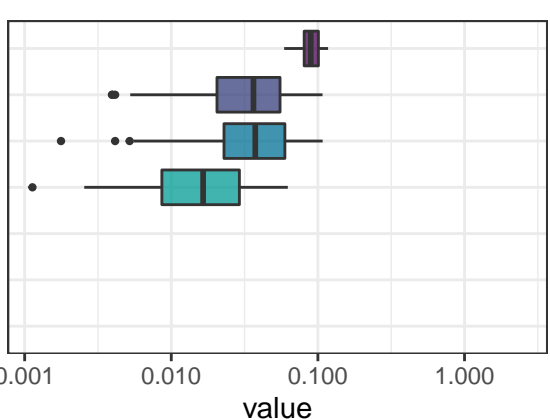
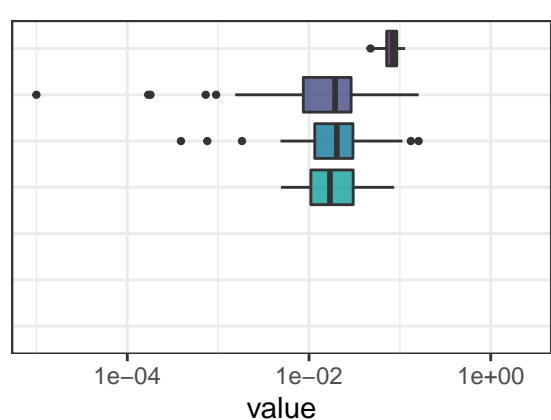
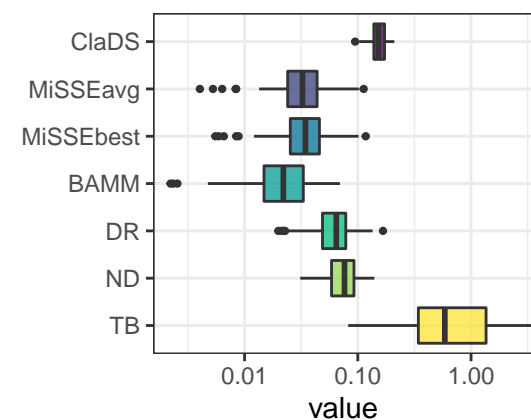
MooreEtAl2016 (N=10)



netDivConstantVariance (N=100)



Rabosky2014 (N=67)



RaboskyEtAl2017 (N=24)

